

Transceptor GPON Clase C++ SFP OLT

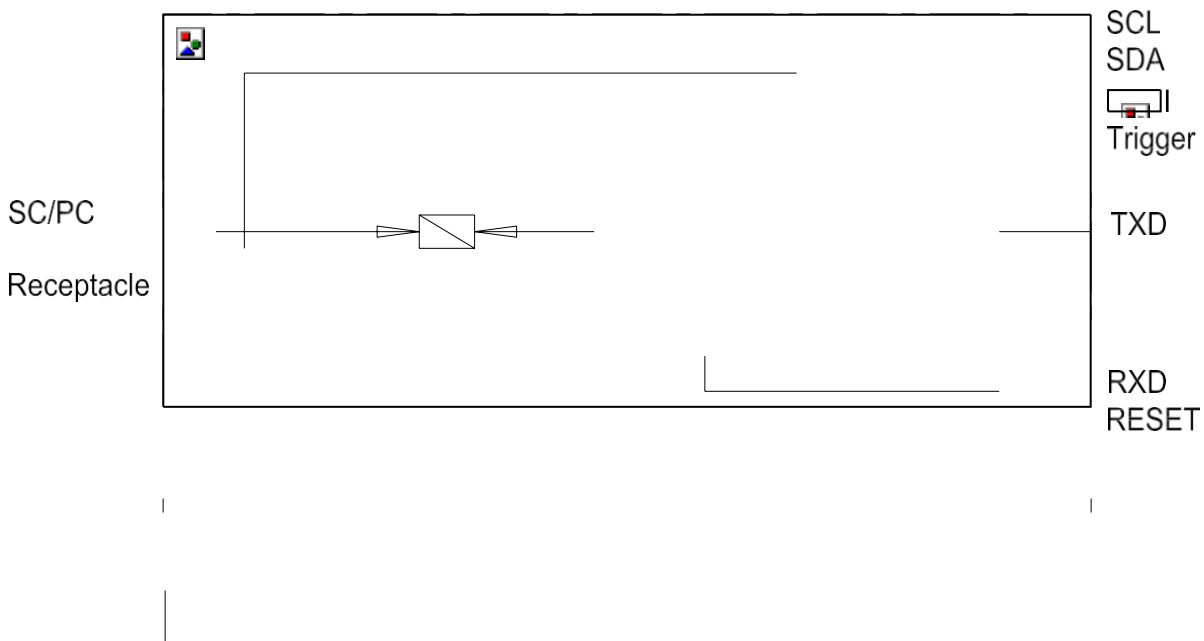
1 . Características

- Transceptor SFP con conector SC/PC
- 1 4 9 0 nm DFB Tx con aislador
- Rx APD de 1 3 1 0 nm
- Diagnóstico digital Cumple con SFF-8472
- Transmisión en modo continuo de 2 4 8 8 Mbps
- Tasa de datos del receptor en modo ráfaga de 1 2 4 4 Mbps
- Detección de modo de ráfaga rápida RX
- Proporciona una función RSSI rápida
- Temperatura de la caja de operación: 0 ~70°C
- Presupuesto de enlace de clase C++
- Cumple con ITU-T G984.2 Enmienda 1
- Cumple con la directiva RoHS (2002/95/EC)

2 . Aplicación

- GPON OLT Clase C++
- FTTx

3 . Diagrama de funciones



4 . Condiciones de funcionamiento recomendadas

Parámetro	Símbolo	mín.	máx.	Unidad
Temperatura de almacenamiento	TSTG	- 4 0	8 5	°C
Temperatura de la carcasa de funcionamiento	Tc	0	7 0	°C
Voltaje de la fuente de alimentación	CCV	3 .1	3 .5	V
Corriente total de la fuente de alimentación	CPI	-	5 0 0	metro A

5 . Características del transmisor

Parámetro	Símbolo	mín.	tip.	máx.	Unidades	notas
Potencia del transmisor óptico	P0	+ 4 .5	-	+ 1 0	dBm	1
Apagado del transmisor óptico	POFF	-	-	- 3 9	dBm	
Longitud de onda del centro de salida	λ	1 4 8 - 0		1 5 0 0	Nuevo Méjico	
Ancho del espectro de salida	$\Delta\lambda$	-	-	1 .0	Nuevo Méjico	
Supresión de modo lateral Proporción	SMSR	3 0	-	-	dB	
Relación de extinción	Urgencias	8 .2	-	-	dB	
Tiempo de subida óptica	-	-	-	1 6 0	PD	
Tiempo de caída óptica	-	-	-	1 6 0	PD	
Diagrama de ojo óptico	Cumple con ITU-T G.984.2 Mascarilla					
Tolerancia a la reflexión trasera de Tx	-	- 1 5	-	-	dB	
Velocidad de datos	-	-	2 .488	-	GB/s	
Voltaje de entrada diferencial	VPP	3 0 0 -		1 2 0	mV	
Entrada diferencial Impedancia	ZIN	8 0	1 0 0	1 2 0	ohm	
Tx_fault Voltaje de salida alto	VIH	2 .4	-	-	V	
Tx_fault Voltaje de salida bajo	VIL	-	-	0 .4	V	
Tx_Dis Voltaje de entrada: alto	VIH	2 .0	-	-	V	
Tx_Dis Voltaje de entrada: bajo	VIL	-	-	0 .8	V	

Nota 1 : modo continuo de 2 ,488 Gbps, PRBS2_z 3-1.

6 . Características del receptor

Parámetro	Símbolo	mín.	tip.	máx.	Unidades	notas
Longitud de onda de operación	-	1 2 6 0	0	1 3 6 0	Nuevo Méjico	-
Velocidad de datos	-	-	1 .244	-	GB/s	-
Sensibilidad	Sen	-	-	- 3 0	dBm	1
Potencia óptica de saturación	Se sentó	- 1 2	-	-	dBm	1
Reflectancia del receptor	-	-	-	- 1 2	dB	
Rango dinámico del modo de ráfaga del receptor	-	1 5	-	-	dB	2
Voltaje de salida de datos: alto	VOH	VccR - 1 .05	-	VccR - 0 ,85	V	-
Voltaje de salida de datos: bajo	VOLUMEN	VccR - 1 .84	-	VccR - 1 ,60	V	-
Oscilación diferencial de salida de datos	-	4 0 0	-	1 6 0 0	mV	
Precisión RSSI	-	- 3	-	3	dB	3
Voltaje de salida BPD: alto	VIH	2 .4	-	-	V	4
Voltaje de salida BPD: bajo	VIL	-	-	0 .4	V	4
tiempo de guardia	GUARDIA	-	3 2	-	pedacitos	-
Anchura de descanso	TRESET		dieciséis	-	pedacitos	
Señal óptica durante el tiempo	TONELADAS ES_DUR	3 0 0	-	-	ns	5
Retardo de activación de RSSI	DT	0	-	3 0 0 0	ns	6
Ancho de disparo RSSI	TW	3 0 0	-	TONELADAS ES_DUR	ns	

Nota 1 : Medido con 1 3 1 0 nm, 1 .244Gbps PRBS2²³-1 entrada óptica en modo ráfaga,

ER=10dB, BER=1x10⁻¹⁰; La longitud del paquete de ráfaga única es de 4 0 us y el intervalo del paquete es

4 0 us.

Nota 2 : Diferencia de nivel de potencia óptica de entrada de paquetes de ráfagas adyacentes.

Nota 3 : La potencia óptica del receptor osciló entre -8dBm y -28dBm, medida con

1 3 1 0 nm, 1 ,244 Gbps PRBS2⁷-1 entrada óptica en modo ráfaga, ER=10dB, 5 0 % de servicio

ciclo.

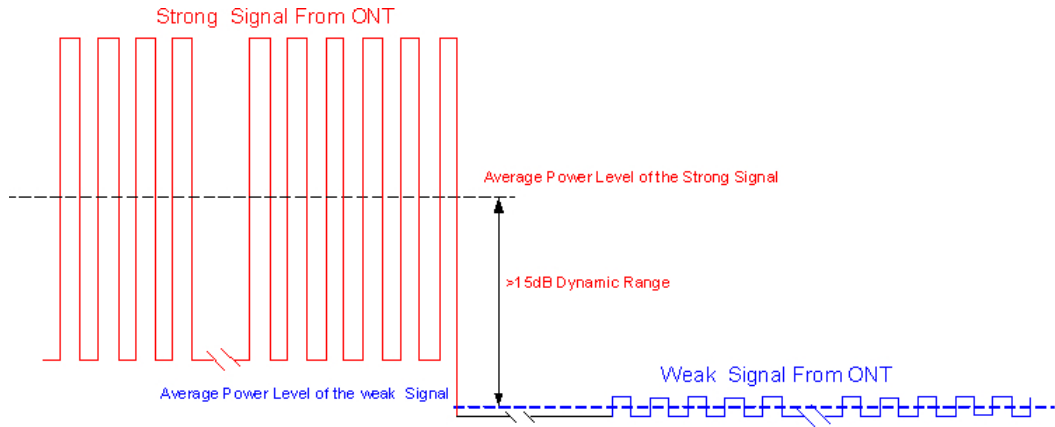
Nota 4 : BPD afirma bajo cuando el módulo recibe la señal de "Reinicio", afirma alto cuando ráfaga

se detecta el paquete y se bloquea en estado alto hasta la próxima señal de "Reinicio".

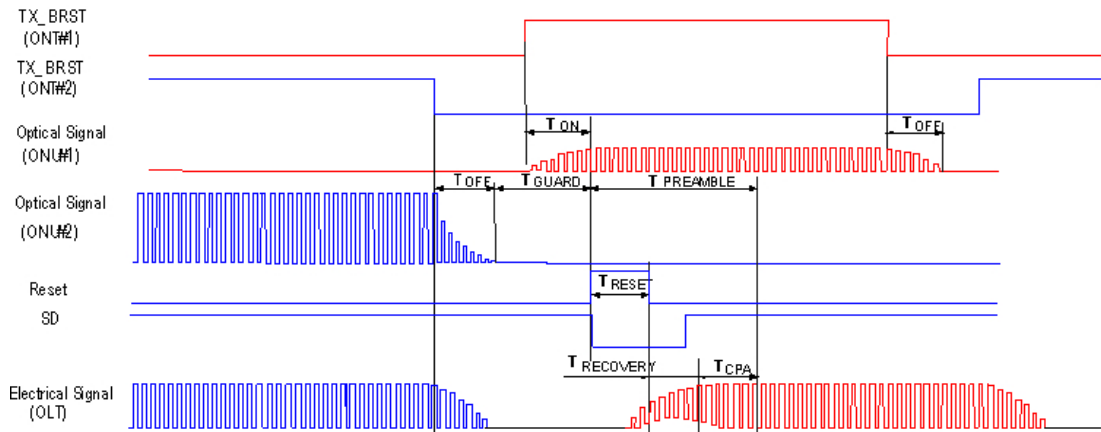
Nota 5 : Para medición RSSI

Nota 6 : Consulte el primer bit del preámbulo

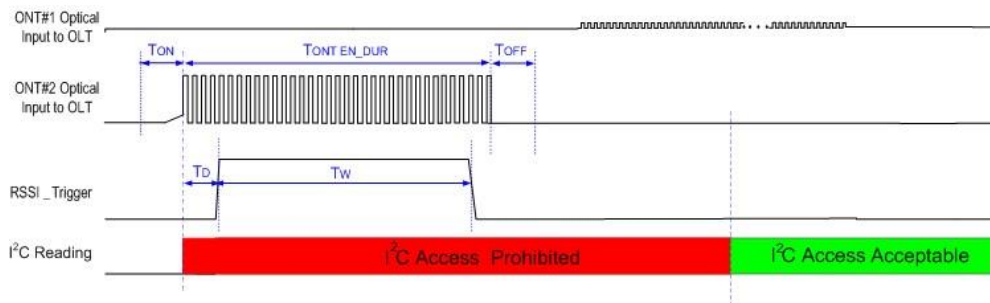
7 . Rango dinámico del receptor en modo ráfaga



8 . Definiciones de parámetros de temporización en secuencia de modo de ráfaga



9 . Secuencia de tiempo RSSI



1 0 . Precisión de monitoreo de diagnóstico digital

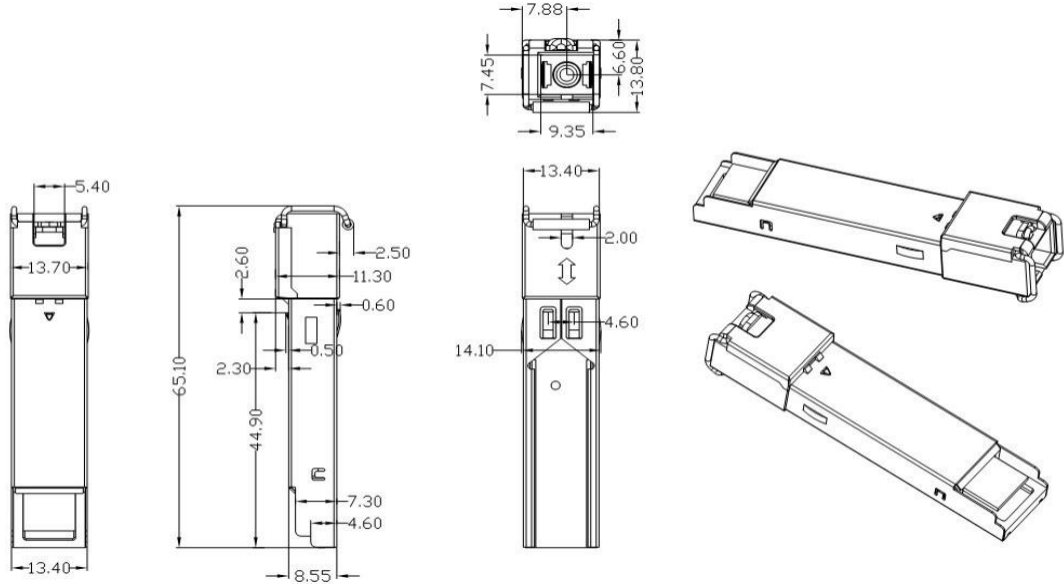
Parámetro	Exactitud	Unidades	notas
Temperatura del transceptor	±3	°C	Sensor de temperatura
Voltaje de la fuente de alimentación	±3	%	Vcc=3.13~3.47V
Corriente de polarización de TX	±10	mA	
Potencia óptica de transmisión	±3	dB	Energía promedio
Potencia Rx	±3	dB	

1 1 . Definiciones de pines

Alfiler#	Nombre	Función
1	VeeT	Tierra del transmisor
2	TX_Fault	Indicación de falla del transmisor, salida LVTTTL, activo alto
3	TX_Deshabilitar	Transmisor desactivado, entrada LVTTTL. La potencia de salida óptica está apagada cuando este PIN es alto o dejado sin conectar.
4	ASD	Datos I2C
5	SCL	Reloj I2C
6	MOD-DEF(0)	Aterrizado internamente
7	Reiniciar	Restablecimiento del receptor, entrada LVTTTL. Establecer "Reset" alto al final de la ráfaga anterior, 2 bytes en duración
8	TLP	Detección de paquetes en ráfaga, salida LVTTTL. BPD afirma bajo cuando el módulo recibe "reinicio" señal, aseverar alta cuando la ráfaga entrante está presente.
9	RSSI_Disparador	Señal de activación RSSI del host, entrada LVTTTL.
1 0	Virar	Tierra del receptor
1 1	Virar	Tierra del receptor
1 2	RD-	inversión Salida de datos recibidos, LVPECL, DC acoplado
1 3	RD+	Salida de datos recibidos, LVPECL, DC acoplado
1 4	Virar	Tierra del receptor
1 5	VccR	Potencia del receptor
dieciséis	VccT	Potencia del transmisor
1 7	VeeT	Tierra del transmisor
1 8	TD+	Entrada de datos de transmisión, LVPECL o CML (AC acoplado; diferencial interno de 1 0 0 ohmios terminación)

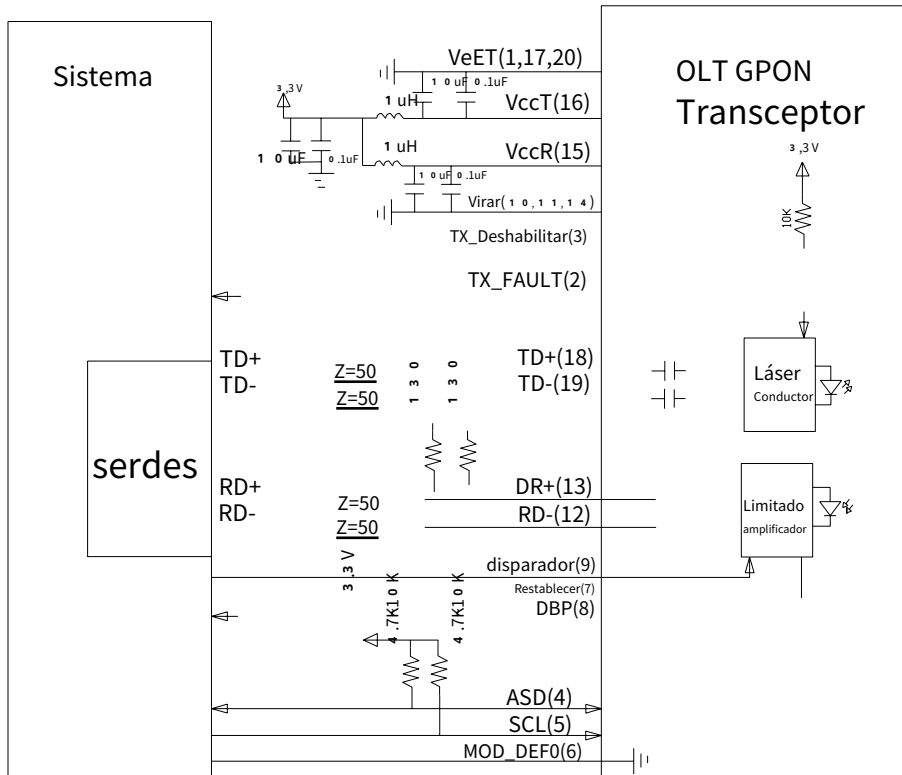
1 9	TD-	inversión Entrada de datos de transmisión, LVPECL o CML (AC acoplado; diferencial interno de 1 0 0 ohmios terminación)
2 0	VeeT	Tierra del transmisor

1 2 Dibujo de esquema



Unidad:
milímetro

1 3 . Circuito de aplicación recomendado



1 4 . Información del pedido

Número de parte	Descripción del Producto	RoHS Obediente
Clase GPON OLT C++ SFP	SFP GPON OLT/Tx1490nm/Rx1310nm/ 2 0 km/Tx2.5Gbps/Rx1.25Gbps/G98 4 .2 Clase C++/ 0 ~70°C/SC receptáculo	RoHS-6

Cuando el ambiente alcanza los 8 5 C máx. como se declara, la carcasa interna es una superficie caliente, no la toque.

